

다시마(*Laminaria japonicus*) Alginate의 가열가수분해에 따른 물리·화학적 및 생물학적 특성에 관한 연구

2. 저분자 alginate의 항들연변이효과와 Cholesterol, Glucose 및 카드뮴(Cd) 결합능의 변화

김육용 · 이근우** · 김건배** · 조영제*

주식회사 MSC 연구소, *부경대학교 식품생명공학부, **군산대학교 식품공학과

Studies on Physicochemical and Biological Properties of Depolymerized Alginate from Sea tangle, *Laminaria japonicus* by Thermal Decomposition

2. Changes in Antimutagenicity Effects and Cholesterol, Glucose and Cadmium(Cd) Binding Capacity of Depolymerized Alginate

Yuck-Yong KIM, Keun-Woo LEE**, Geon-Bae KIM** and Young-Je CHO*

Research Laboratory, MSC Co. Ltd., Yangsan 626-840, Korea

*Faculty of Food Science and Biotechnology, Food Science and Technology Major, Pukyong National Univ., Pusan 608-737, Korea

**Department of Food Science and Technology, Kunsan 573-360, Korea

To improve functionality and characteristics of alginate from the sea tangle, *Laminaria japonicus*, partially depolymerized alginates (HAG-10, average molecular weight 10,000; HAG-50, average molecular weight 50,000; HAG-100, average molecular weight 100,000) were obtained with hydrolysis of alginate by heating at 121°C. Effects of the depolymerization on physicochemical properties were investigated in the antimutagenicity and binding capacity of cholesterol, glucose and cadmium. In the Ames mutagenicity test using *Salmonella typhimurium* TA 100, HAG-10, HAG-50, HAG-100 and intact alginate reduced effectively the mutagenicities induced by aflatoxin B₁ (AFB₁) and N-methyl-N-nitrosoguanidine(MNNG) and HAG-10 showed the strongest antimutagenicity among the tested samples. The binding capacity of cholesterol, glucose and cadmium at different pH *in vitro* depended highly on molecular weight of alginate, and the changes in binding capacity at different pH was not different.

Key words: Sea tangle, Depolymerized alginate, HAG-10, HAG-50, HAG-100, Antimutagenicity, Cholesterol, Glucose, Cadmium, Binding capacity

서 론

알긴산의 항들연변이 및 항종양효과는 M/G 비율이 증가할수록 면역활성을 증가시켜서 강한 항종양효과를 가질뿐만 아니라 세균 감염에 대한 저항성을 높이게 되고 (Fujihara and Nagumo, 1993; Fujiki *et al.*, 1994) macrophage의 식세포능을 증가시키는데, 이는 block 조성에 의해 영향을 받으며, MM-block의 함량이 높을수록 cytokine을 생성하는 monocyte를 자극하고 정상적인 macrophage activity를 가져 높은 항종양활성을 나타내는 것으로 알려져 있다 (Chiharu *et al.*, 1992; Fujihara *et al.*, 1984; Fujihara and Nagumo, 1993). 또한, alginate의 일반적인 항종양기구는 microphage의 활성화 및 인터페론의 유도기능작용 (誘導起能作用) 등에 의한 숙주개재성 (宿主介在性)에 의한 것으로 추정되고 있다 (Fujihara *et al.*, 1984).

알긴산의 중금속 결합능에 대하여, 유리 carboxyl기를 가지는 알긴산은 금속이온과 반응하며 (Haug, 1961; Haug and Smidsrød, 1962; Harrison *et al.*, 1966), Haug (1959, 1961)와 Lee *et al.* (1998)은 알긴산과 중금속 (Pb, Cu, Cd, Zn, Ba, Ca, Co 등)의 이온교환능은 M/G 비율이 낮을수록 높아진다고 하였다. 탯드에 방사성 칼슘과 strontium을 투여후 알긴산을 섭취시켰을 때, 분변 중으로 방사성 칼슘과 strontium의 배출은 M/G 비율이 낮을수록

금속이온결합능이 증가하므로써 체외배출률이 증가한다고 보고하였다 (Haug, 1961; Haug and Smidsrød, 1962; Takahashi and Tsuji, 1981). Takahashi and Tsuji (1981)도 알긴산의 카드뮴과 칼슘의 중금속결합능은 M/G 비율이 낮을수록, 중합도가 클수록 그 결합능이 증가한다고 하였다.

본 연구는 alginate의 광범위하고 효율적인 이용을 목적으로 가열에 의한 저분자화를 시도하였으며, 저분자화에 따른 항들연변이 원성과 cholesterol, glucose 및 카드뮴의 결합능을 검토하였다.

실험 재료 및 방법

1. 실험 재료

다시마 alginate 및 저분자 alginate (HAG-10, HAG-50 및 HAG-100)는 전보 (Kim and Cho, 2000)의 방법에 따라 제조하여 사용하였다.

2. 실험 방법

1) 저분자 alginate의 항들연변이원성

(1) 돌연변이유발물질

간접돌연변이원은 aflatoxin B₁ (AFB₁) (Sigma사제, U.S.A.)을

dimethylsulfoxide (DMSO)에 녹여 실험하였고, 직접돌연변이원은 N-methyl-N'-nitro-N-nitrosoguanidine (MNNG) (Aldrich사제, U.S.A.)을 증류수에 녹여 실험하였다.

(2) 항돌연변이 효과

Ames *et al.* (1975)와 Maron and Ames (1983)의 방법에 따라서 *Salmonella typhimurium* TA 100 균주를 사용하여 실험하였고, 돌연변이유발물질인 aflatoxin B₁을 활성형으로 만들기 위하여 체중이 약 200g이 되는 Sprague-Dawley계 랫드(♂)을 사용하여 Maron and Ames (1983)의 방법에 따라 S9 mixture를 조제하여 첨가하였으며, Yahagi *et al.* (1979)의 방법으로 preincubation mutagenicity test를 이용하여 항돌연변이 실험을 실시하였다. 돌연변이 억제효과 (inhibition rate)는 아래 식에 의해 계산하였다.

$$\text{Inhibition rate (\%)} = [(A - B)/(A - C)] \times 100$$

A; 돌연변이원에 의해 유도된 복귀돌연변이원수

B; 시료를 처리하였을 때의 복귀돌연변이원수

C; 돌연변이원과 시료가 없을 경우의 자연복귀돌연변이원수

2) 저분자 alginate의 cholesterol, glucose 및 카드뮴 결합능

(1) Cholesterol 결합능

HAG-10, HAG-50, HAG-100 및 alginate에 의해 흡착제거되는 cholesterol의 양을 정량적으로 측정하기 위하여 평형투석법 (Tsuji *et al.*, 1988; Kimura *et al.*, 1993)으로 평형투석장치인 acryl성 plastic dialysis cell (08-066-17, Fisher, U.S.A.)을 사용하였다. 이 장치는 2개의 10ml half cell로 구성되어 있고 2개의 half cell 중간에는 투석막 (MWCO 6,000)을 장착하였다. 한쪽 cell에는 0.1% (w/v) 시료용액 3ml와 cholesterol 용액 (0.0057ml/ml isopropanol, v/v, Sigma) 7.0ml의 혼합액을 1M HCl과 1M NaOH 용액으로 pH 2.8, 6.5 및 10.0으로 조정하여 투석막안에 넣고 다른 쪽 cell에는 증류수 3ml와 isopropanol 7ml의 혼합액을 투석막밖에 넣은 후 shaker로 진탕하면서 60시간 동안 투석하였다. 2개의 half cell 용액중의 cholesterol 함량은 그 용액 1ml씩을 취하여 total cholesterol 측정용 kit (Sigma Chemical Co., U.S.A.)를 이용한 효소법으로 측정하였으며, 그 결합률 (%)은 cholesterol 투입량에 대한 결합량의 백분율로 나타내었다.

(2) Glucose 결합능

평형투석법 (Tsuji *et al.*, 1988; Kimura *et al.*, 1993)으로 측정하였으며, 평형투석장치인 acryl성 plastic dialysis cell (08-066-17, Fisher, U.S.A.)을 사용하였다. 2개의 half cell 중간에는 투석막 (MWCO 6,000)을 장착하여 한쪽 cell에는 0.1% (w/v) 시료용액 3ml와 0.57% glucose 용액 7 ml의 혼합액을 1M HCl과 1M NaOH 용액으로 pH 2.8, 6.5 및 10.0으로 조정하여 투석막안에 넣고 다른 쪽 cell에는 증류수 10ml를 투석막밖에 넣은 후 shaker로 진탕하면서 60시간 동안 투석하였다. 2개의 half cell 용액중의 glucose 함량은 그 용액 1ml를 취하여 glucose 측정용 kit (Sigma Chemical Co., U.S.A.)를 이용한 효소법으로 측정하였다. 그 결합률 (%)은 glucose 투입량에 대한 결합량의 백분율로 나타내었다.

(3) 카드뮴 (Cd) 결합능

HAG-10, HAG-50, HAG-100 및 alginate에 의해 흡착제거되는 카드뮴의 양을 정량적으로 측정하기 위하여 Takahashi and Tsuji

(1981)의 투석법으로 실시하였다. 즉, 시판되는 중금속 카드뮴 표준용액 (Junsei Chemical Co., Japan)을 0.01M로 제조한 용액 100 ml를 비이커에 넣고 30cm의 36/32 cellulose 투석막에 0.4%의 시료 용액 10ml를 1M HCl과 1M NaOH 용액으로 pH 2.8, 6.5 및 10.0으로 조정하여 넣고 세지 않도록 잘 봉입한 후 비이커에 침지하여 24시간 동안 교반투석하였다. 투석후 투석액을 증류수로 씻고 세액을 비이커액과 합하여 0.01M EDTA 용액으로 적정하고 소비된 금속량을 계산하였다. 한편 투석막내에 잔존하는 금속이온을 1N HCl로 용해하여 100ml로 정용한 후 50배 정도 회석하여 ICP (JY-38S, Jobin Yvon, France)로 카드뮴량을 측정하였다. 또한, 투석막으로 흡착되는 카드뮴량을 측정하기 위하여 투석막을 0.01M 카드뮴용액 100ml에 침지하여 동일한 방법으로 실험하여 blank로 하였으며 그 결합률 (%)은 카드뮴 투입량에 대한 결합량의 백분율로 나타내었다.

3) 통계처리

분석결과는 SAS (Statistical Analysis System, Cary, U.S.A.) 통계 패키지로 처리하여 평균 ± 표준편차로 나타내었으며, 각 기간별 유의성검증은 Student *t*-test로 하였다.

결과 및 고찰

1. 저분자 alginate의 항돌연변이원성

HAG-10, HAG-50, HAG-100 및 alginate의 *Salmonella typhimurium* TA 100 균주의 aflatoxin B₁에 대한 간접돌연변이원성 항돌연변이 효과를 독성을 나타내지 않는 5.0%의 농도범위에서 살펴 본 결과를 Table 1에 나타내었다. HAG-10에서 그 활성이 가장 높았으며, 0.001% 농도에서부터 항돌연변이 효과를 나타내어 43.76%였으나, 이보다 5,000배 높은 농도인 5.0% 농도에서는 그 효과가 약 1.5배 정도밖에 증가하지 않은 65.16%였다. 다음으로 HAG-50, HAG-100 및 alginate의 순으로 현저한 차이는 없었지만 alginate에서 활성이 가장 낮았고 간접적으로 발암물질의 돌연변이 유발성을 억제하는 것은 낮은 농도에서부터 항돌연변이 효과가 있었지만 농도를 높여도 그 효과는 크게 증가되지 않았다.

HAG-10, HAG-50, HAG-100 및 alginate의 *Salmonella typhimurium* TA 100 균주의 N-methyl-N'-nitro-N-nitrosoguanidine (MNNG)에 대한 직접돌연변이원성 항돌연변이 효과를 독성을 나타내지 않는 5.0%의 농도범위에서 살펴 본 결과를 Table 2에 나타내었다. HAG-10에서 그 활성이 가장 높았으며, 0.001% 농도에서부터 항돌연변이 효과를 나타내어 32.34%였으나, 이보다 5,000배 높은 농도인 5.0% 농도에서는 그 효과가 약 1.8배 정도밖에 증가하지 않은 57.52%였다. 다음으로 HAG-50, HAG-100 및 alginate의 순으로 alginate에서 가장 낮았고 직접적으로 발암물질의 돌연변이 유발성을 억제하는 것은 낮은 농도에서부터 항돌연변이 효과가 있었지만 농도를 높여도 그 효과는 크게 증가하지 않았다.

이상과 같이, alginate가 저분자화 할수록 M/G 비율은 증가하였고 이와 비례적으로 간접 및 직접돌연변이원에 대한 항돌연변이 효과도 증가하였는데, 이것은 alginate의 M/G 비율이 증가할수록

Table 1. Effects of HAG-10, HAG-50, HAG-100 and alginate on the mutagenicity induced by aflatoxin B₁(AFB₁, 1.0 μ g/plate) in *Salmonella typhimurium* TA 100

Treatment	Concentration (%)	Revertant/plate ^{*1}	Inhibition rate(%)
Spontaneous Control(AFB ₁)		128 ± 10	
		1,128 ± 56	
AFB ₁ + HAG-10	0.001	690 ± 51	43.76
	0.01	611 ± 43	50.88
	0.1	579 ± 42	54.91
	0.5	535 ± 36	59.28
	1.0	517 ± 25	61.11
	5.0	476 ± 22	65.16
AFB ₁ + HAG-50	0.001	715 ± 49	41.27
	0.01	653 ± 31	47.49
	0.1	603 ± 29	52.55
	0.5	556 ± 24	57.18
	1.0	512 ± 25	61.65
	5.0	489 ± 19	63.94
AFB ₁ + HAG-100	0.001	768 ± 39	35.96
	0.01	706 ± 25	42.24
	0.1	666 ± 18	46.19
	0.5	617 ± 19	51.08
	1.0	584 ± 21	54.44
	5.0	541 ± 14	58.72
AFB ₁ + Alginate	0.001	770 ± 43	35.76
	0.01	725 ± 29	40.28
	0.1	660 ± 31	46.81
	0.5	626 ± 14	50.25
	1.0	590 ± 23	53.80
	5.0	571 ± 15	55.72

^{*1} Mean ± S.D. for 3 individuals.

면역활성을 증가시켜서 강한 항종양효과와 세균감염에 대한 저항성을 높인다는 보고(Fujihara and Nagumo, 1993; Fujiki *et al.*, 1994)와 일치하였다. 또한, Fujihara and Nagumo (1993)와 Chiharu *et al.* (1992)는 alginate가 macrophage의 죽세포능을 증가시키며 그 활성은 MM-block의 조성이 높을수록 cytokine을 생성하는 monocyte를 자극하고 정상적인 macrophage activity를 가져 항종양활성을 가지는 것으로 보고하고 있어서 MM-block의 조성이 높을수록 항돌연변이 효과가 높게 나타난 본 실험의 결과를 뒷받침하고 있다. 또, Chiharu *et al.* (1992)은 알긴산의 carboxyl기가 Glu-p-1, Trp-p-1, dimethylnitrosoamine 등과 같은 발암원의 amino기와 결합하여 소장에서의 흡수를 억제하므로써 발암을 감소시킨다고 하였고, Cumings *et al.* (1978)과 Stephen and Cumings (1980)은 알긴산과 같은 gum 물질은 발암물질의 장점막과의 접촉을 감소시켜, 발암을 억제한다고 보고하여 본 실험의 저분자 alginate의 항돌연변이 효과는 microphage의 활성화, 물리적 특징 및 carboxyl기의 반응에 의한 결과라고 생각된다.

Table 2. Effects of HAG-10, HAG-50, HAG-100 and alginate on the mutagenicity induced by N-methyl-N'-nitro-N-nitrosoguanidine(MNNG, 0.45 μ g/plate) in *Salmonella typhimurium* TA 100

Treatment	Concentration (%)	Revertant/plate ^{*1}	Inhibition rate(%)
Spontaneous Control(AFB ₁)		116 ± 13	
		1,038 ± 29	
AFB ₁ + HAG-10	0.001	740 ± 19	32.34
	0.01	690 ± 44	37.71
	0.1	636 ± 42	43.62
	0.5	601 ± 19	47.39
	1.0	554 ± 19	52.48
	5.0	508 ± 24	57.52
AFB ₁ + HAG-50	0.001	757 ± 35	30.49
	0.01	702 ± 26	36.48
	0.1	653 ± 19	41.76
	0.5	613 ± 11	46.11
	1.0	571 ± 14	50.65
	5.0	524 ± 21	55.72
AFB ₁ + HAG-100	0.001	788 ± 54	27.08
	0.01	735 ± 41	32.90
	0.1	700 ± 18	36.63
	0.5	648 ± 29	42.29
	1.0	606 ± 36	46.81
	5.0	564 ± 21	51.38
AFB ₁ + Alginate	0.001	842 ± 40	21.29
	0.01	783 ± 28	27.71
	0.1	737 ± 17	32.62
	0.5	695 ± 19	37.19
	1.0	648 ± 23	42.31
	5.0	602 ± 14	47.25

^{*1} Mean ± S.D. for 3 individuals.

2. 저분자 alginate의 cholesterol, glucose 및 카드뮴 결합능 HAG-10, HAG-50, HAG-100 및 alginate의 cholesterol 결합률을 Fig. 1에 나타내었다. HAG-10은 pH 2.8에서 13.32 ± 1.27%, pH 6.5에서 12.89 ± 2.76% 및 pH 10.0에서 11.91 ± 2.32%로 결합능을 보이지 않았으나 HAG-50과 HAG-100은 유의적으로 ($p < 0.01$) 증가하였으며, alginate는 pH 2.8에서 32.26 ± 3.09%, pH 6.5에서 33.65 ± 5.26% 및 pH 10.0에서 30.43 ± 3.68%로 그 결합률이 가장 높았다. 다음으로 HAG-50과 HAG-100은 유사하였으며, HAG-10은 거의 결합능을 보이지 않았으며, pH에 따른 차이는 보이지 않았다. HAG-10, HAG-50, HAG-100 및 alginate의 glucose 결합률을 Fig. 2에 나타내었다. HAG-10은 pH 2.8에서 12.44 ± 4.44%, pH 6.5에서 16.72 ± 3.11% 및 pH 10.0에서 13.88 ± 1.80%로 가장 낮았으나, HAG-50과 HAG-100은 HAG-10보다 유의성 있게 ($p < 0.01$) 증가하였으며, alginate는 pH 2.8에서 40.72 ± 3.01%, pH 6.5에서 42.28 ± 4.00% 및 pH 10.0에서 36.66 ± 3.27%

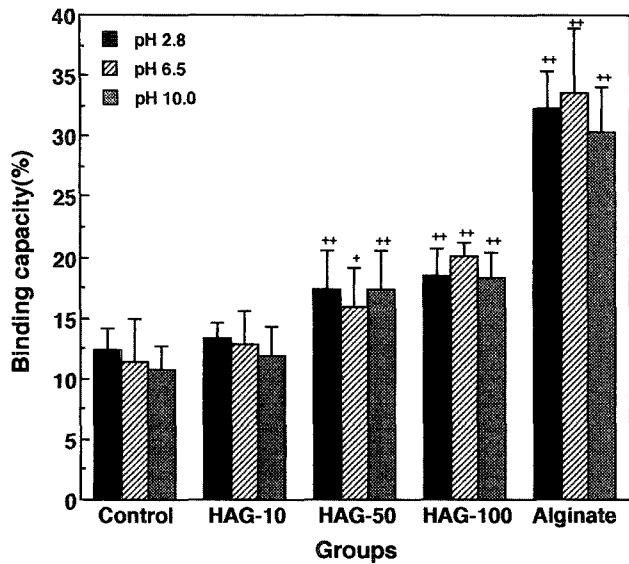


Fig. 1. Changes of cholesterol binding capacity in HAG-10, HAG-50, HAG-100 and alginate at various pH.
All data were calculated by Mean \pm S.D. for 7 individuals.
+, ++ : Significantly different in student t-test from the control(+p<0.05, ++p<0.01).

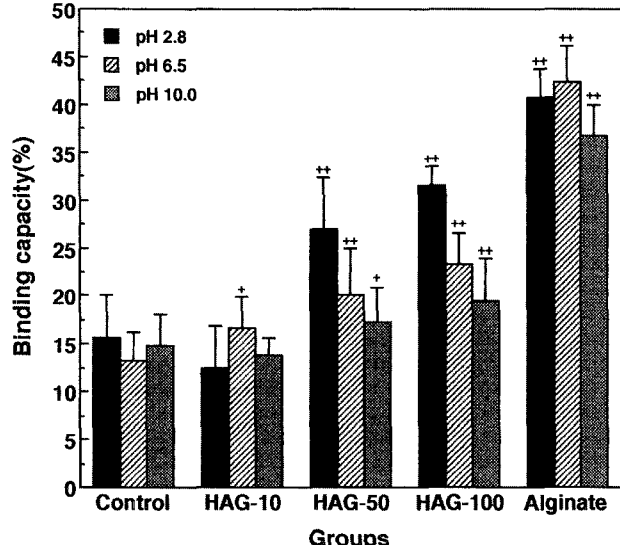


Fig. 2. Changes of glucose binding capacity in HAG-10, HAG-50, HAG-100 and alginate at various pH.
All data were calculated by Mean \pm S.D. for 7 individuals.
+, ++ : Significantly different in student t-test from the control(+p<0.05, ++p<0.01).

로 가장 높았다. 다음으로 HAG-50과 HAG-100은 유사하였으며, HAG-10은 거의 결합능이 보이지 않았고 pH가 낮을수록 결합률은 전반적으로 높았다. HAG-10, HAG-50, HAG-100 및 alginate

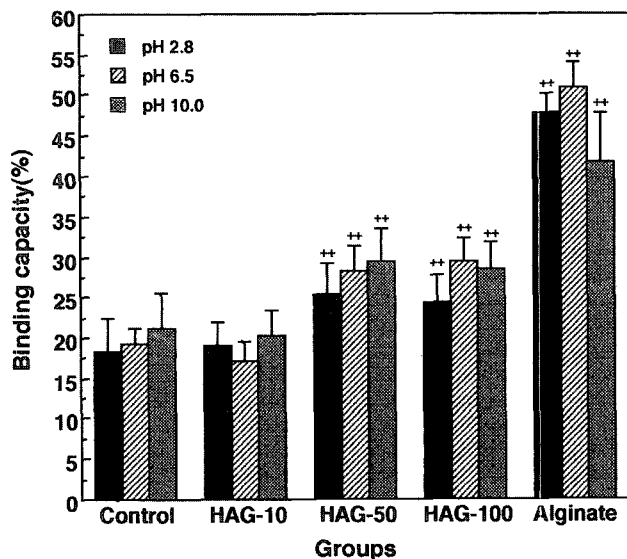


Fig. 3. Changes of cadmium binding capacity in HAG-10, HAG-50, HAG-100 and alginate at various pH.
All data were calculated by Mean \pm S.D. for 7 individuals.
+, ++ : Significantly different in student t-test from the control(+p<0.05, ++p<0.01).

에 대하여 pH에 따른 카드뮴의 결합률을 측정하였으며, 그 결과는 Fig. 3과 같다. HAG-10은 pH 2.8에서 19.00 \pm 3.00%, pH 6.5에서 17.22 \pm 2.38% 및 pH 10.0에서 20.29 \pm 3.19%로 거의 결합률을 보이지 않았고, HAG-50과 HAG-100은 HAG-10보다 상당히 증가하였으며, alginate는 pH 2.8에서 47.77 \pm 2.43%, pH 6.5에서 50.91 \pm 3.04% 및 pH 10.0에서 41.80 \pm 5.91%로 결합률이 가장 높았고 pH에 따른 차이는 보이지 않았다.

이상과 같이, cholesterol, glucose 및 카드뮴의 결합률에 미치는 저분자 alginate의 영향을 검토한 결과, 그 결합률은 전반적으로 alginate에서 가장 높았고 HAG-50과 HAG-100은 유사하였으며, HAG-10은 거의 결합능을 보이지 않았다. M/G 비율이 높은 HAG-10보다 M/G 비율이 낮은 alginate에서 cholesterol, glucose 및 카드뮴의 결합률이 증가한 결과는 Harrison et al. (1966)은 랙드에 방사성 칼슘과 strontium을 투여하고 alginate를 섭취시켰을 때, 분변중으로 방사성 칼슘과 strontium의 배설이 촉진되며, M/G 비율이 낮을수록, 종합도가 클수록 금속이온결합능이 증가하여 체외배설률이 증가한다는 보고 (Haug, 1959; Haug, 1961; Haug and Smidsrød, 1962; Takahashi and Tsuji, 1981)와 일치하였다.

요약

Alginate의 광범위하고 효율적인 이용을 목적으로 평균분자량이 약 10,000 (HAG-10), 50,000 (HAG-50) 및 100,000 (HAG-100) 정도의 저분자 alginate를 제조하였으며, 이 저분자 alginate의 항

돌연변이효과와 cholesterol, glucose 및 카드뮴과의 결합능을 측정하여 그 물리·화학적 특성을 비교, 검토하였다.

Ames test로 저분자 alginate의 항돌연변이 효과를 측정한 결과, aflatoxin B₁ (AFB₁)에 대한 간접돌연변이원성과 N-methyl-N'-nitro-N-nitrosoguanidine (MNNG)에 대한 직접돌연변이원성의 항돌연변이 효과는 HAG-10이 가장 높았고, 다음으로 HAG-50, HAG-100 및 alginate의 순으로 나타나 저분자화가 진행될수록 그 효과는 증가하는 것으로 나타났다. 저분자 alginate의 cholesterol, glucose 및 카드뮴에 대한 결합능은 alginate가 가장 높았고, 다음으로 HAG-50과 HAG-100은 유사하였으며, HAG-10은 결합능을 거의 보이지 않았다.

참 고 문 헌

- Ames, B.N., J. McCann and E. Yamasaki. 1975. Methods for the detecting carcinogens and mutagens with the *Salmonella* mammalian-microsome mutagenicity test. *Mutat. Res.*, 31, 347~351.
- Chiharu, N., N. Tadashi and Y. Toshimara. 1992. Effect of pH on the *in vitro* sorption of mutagens to dietary fibers. *Biosci. Biotech. Biochem.*, 56, 1100~1107.
- Cummings, J.H. 1978. Nutritional implications of dietary fiber. *Am. J. Clin. Nutr.*, 31, S21~29.
- Fujihara, M., K. Komiyama, I. Umezawa and T. Nagumo. 1984. Antitumor activity and its mechanisms of sodium alginate from the brown seaweed *Sargassum fulvellum*. *Chemotherapy*, 32, 1004~1009.
- Fujihara, M. and T. Nagumo. 1993. An influence of the structure of alginate on the chemotactic activity of macrophages and the antitumor activity. *Carbohydrate Research*, 243, 211~216.
- Fujiki, K., H. Matsuyama and T. Yano. 1994. Protective effect of sodium alginates against bacterial infection in common carp, *Cyprinus Carpio*. *L. J. Fish Dis.*, 17, 349~355.
- Harrison, G.E., E.R. Humphreys, A. Sutton, H. Shepherd. 1966. Strontium uptake in rats on alginate-supplemented diet. *Science*, 152, 655~656.
- Haug, A. 1959. Ion exchange properties of alginate fractions. *Acta Chem. Scand.*, 13, 1250~1251.
- Haug, A. 1961. The affinity of some divalent metals to different types of alginates. *Acta Chem. Scand.*, 15, 1794~1795.
- Haug, A. and O. Smidsrød. 1962. Determination of intrinsic viscosity of alginate. *Acta Chem. Scand.*, 16, 1569~1578.
- Kim, Y.Y. and Y.J. Cho. 2000. Studies on physicochemical and biological properties of depolymerized alginate from sea tangle, *Laminaria japonicus* by heating hydrolysis. 1. Changes in viscosity, average molecular weight and chemical structure of depolymerized alginate. *J. Korean Fish. Soc.*, in press (in Korean).
- Kimura, T., K. Takahashi, Y. Ueda, H. Obika, Y. Kobayashi and K. Tsuji. 1993. Effects of the primary structure of alginate on fecal excretion of sodium in rats. *Nippon Nogeikagaku Kaishi*, 67, 1177~1183.
- Lee, D.S., H.R. Kim and J.H. Pyeun. 1998. Effect of low-molecularization on rheological properties of alginate. *J. Korean Fish. Soc.*, 31, 82~89 (in Korean).
- Maron, D.M. and B.N. Ames. 1983. Revised methods for the *Salmonella* mutagenicity test. *Mutat. Res.*, 113, 173~177.
- Stephen, A.M. and J.H. Cummings. 1980. Mechanism of action of dietary fiber in the human colon. *Nature*, 284, 283~289.
- Takahashi, Y. and K. Tsuji. 1981. Studies on the binding properties of alginic acid to heavy metals. I. Metal ratio in alginate formed by precipitation and dialysis method. *Eisei Kagaku*, 27, 30~37 (in Japanese).
- Tsuji, K., E. Tsuji, Y. Nakagawa and L.S. Suzuki. 1988. Effects of Na-binding capacity of dietary fibers on blood pressure in spontaneously hypertensive rats. *J. Home Ecom. Jpn.*, 39, 187~195 (in Japanese).
- Watanabe, K., K. Iwata, Y. Tandai, M. Nishizawa, T. Yamagishi and I. Yoshizawa. 1992. Effects of soluble alginates on the excretion of cholesterol, Trp-p-1 and aflatoxin B₁ in rats. *Jpn. J. Toxicol. Environ. Health*, 38, 258~262.
- Yahagi, T., M. Nagao, T. Sugimura, A. Fuuya and T. Matsushima. 1979. Mutagenicity of purrolizidine alkaloids in *Salmonella*-microsome test. *Mutat. Res.*, 68, 211~216.

2000년 6월 1일 접수

2000년 9월 1일 수리